

論文

ソーダ系、石灰系フラックス-炭素飽和
溶鉄間のりん分配井上亮^{*}・水渡英昭^{*2}Phosphorus Distribution between Soda- and Lime-based
Fluxes and Carbon-saturated Iron Melts

Ryo INOUE and Hideaki SUITO

Synopsis :

The phosphorus distribution ratios between carbon-saturated iron melts and $\text{Na}_2\text{O}-\text{SiO}_2$, $\text{Na}_2\text{O}-\text{SiO}_2-\text{MO}$ ($\text{M}=\text{Mg}, \text{Ca}, \text{Ba}$), CaF_2-CaO or $\text{CaF}_2-\text{CaO}-\text{Al}_2\text{O}_3$ slags have been obtained as a function of slag compositions and temperatures. The phosphorus distribution ratios in the $\text{Na}_2\text{O}-\text{SiO}_2-\text{MO}$ ($\text{M}=\text{Ca}, \text{Ba}, \text{Mg}$) system were found to decrease when Na_2O was replaced by MgO , CaO and BaO at a constant SiO_2 content. The temperature dependence of phosphorus distribution ratios in the CaF_2-CaO and $\text{CaF}_2-\text{CaO}-\text{Al}_2\text{O}_3$ systems has been observed in the temperature range of 1430°C to 1550°C, while in the $\text{Na}_2\text{O}-\text{SiO}_2$ system it has not been observed at 1250°C and 1350°C. The phosphorus distribution ratios in the MF_2-MO ($\text{M}=\text{Mg}, \text{Ca}, \text{Ba}, \text{Na}$) system were found to decrease in the order of $\text{Na} > \text{Ba} > \text{Ca} > \text{Mg}$.

1. 緒言

近年、我が国においてソーダ系、石灰系フラックスを用いた実験室ならびに実操業での溶銑脱りんに関する研究が活発になされている。しかし、ソーダ系、石灰系フラックスの熱力学的性質、特に酸素ポテンシャル一定下でのスラグ-メタル間のりん分配比-スラグ中のりんの活量に関する基礎的数据は数少ない。その理由はスラグ中のりんの活量を溶銑処理温度で求める実験方法が限られているためである。岩崎ら¹⁾は石灰系スラグ-固体鉄間のりん分配比を酸素ポテンシャル一定下で溶銑処理温度範囲で求めている。一方、スラグ-溶鉄間のりん分配比は比較的簡単に求めることができるため、高温(1550°~1650°C)のりん分配比のデータ^{2)~4)}を溶銑処理温度まで外挿することにより溶銑脱りんの可能性を評価することができる⁵⁾。

著者らは先に $\text{Na}_2\text{O}-\text{SiO}_2$ 系スラグ-炭素飽和溶鉄間の硫黄の分配比を求める実験を 1250°~1350°C 間で行った⁶⁾。その結果、これらの温度範囲では攪拌することにより平衡到達時間が短縮でき、 $\text{Na}_2\text{O}/\text{SiO}_2=1.5$ (モル比)のスラグ組成まではスラグ組成の経時変化を無視して実験が可能であることを報告した。また CO 1 気圧下で $\text{CaF}_2-\text{CaO}-\text{Al}_2\text{O}_3$ 系スラグ-炭素飽和溶鉄間の硫黄の分配比⁷⁾を求めたところ、従来のガス-スラグ間

平衡で求められている sulfide capacity, $C_S (= (\%S) \cdot a_O/a_S)$ の値⁸⁾から求めた硫黄の分配比とよく一致することがわかつた。

本研究では CO 1 気圧下で $\text{Na}_2\text{O}-\text{SiO}_2$ 系、 $\text{CaF}_2-\text{CaO}(-\text{Al}_2\text{O}_3)$ 系スラグ-炭素飽和溶鉄間のりん分配比を求めた。さらに SiO_2 濃度一定で Na_2O を他の酸化物で置き換えること、および種々のふつ化物系スラグによるりん分配比を比較することにより Na_2O 、 CaO と他の酸化物の脱りん平衡におよぼす影響の違いを調べた。phosphate capacity, $C_P (= (\%P) / [a_P \cdot a_O^{5/2}])$ の値を用いることにより、他の研究者らのデータと本研究結果の比較検討を行つた。

2. 実験方法

実験装置および方法は前報の硫黄の分配実験⁶⁾と同じであるので詳細は省略する。スラグ(8 g)、メタル(30 g)を黒鉛るつぼ中、CO 気流下で溶解し、アルミナ棒または黒鉛棒にて攪拌を行つた。 $\text{Na}_2\text{O}-\text{SiO}_2$ 系スラグの実験の一部では炭素飽和溶鉄の代わりに炭素飽和溶銅を用いた。実験時間は実験温度、スラグ組成に依存して 10 min~4 h とした。実験温度はソーダ系では主に 1250°C、 CaF_2 系では 1500°C、また BaF_2 、 MgF_2 系では 1350°C で行つた。りん分配比の温度依存性を調べる実験も CaF_2-CaO 系、 $\text{CaF}_2-\text{CaO}-\text{Al}_2\text{O}_3$ 系スラグ

昭和 58 年 4 月本会講演大会にて一部発表 昭和 59 年 6 月 20 日受付 (Received June 20, 1984)

* 東北大学選鉱製錬研究所 (Research Institute of Mineral Dressing and Metallurgy, Tohoku University)
** 東北大学選鉱製錬研究所 Ph. D. (Research Institute of Mineral Dressing and Metallurgy, Tohoku University, 2-1-1 Katahira Sendai 980)

を用いて行つた。炭素飽和溶鉄を用いての実験ではメタル側(Fe-4.5%C-1%P 合金添加)およびスラグ側(NH₄H₂PO₄, 3Na₂O·P₂O₅, 3CaO·P₂O₅, 2BaO·P₂O₅, 3MgO·P₂O₅として添加)からりんを平衡に到達させたが、大部分はメタル側からのみりんを平衡に到達させた。炭素飽和溶鉄を用いた実験ではメタル側(初期りん濃度0.1%)およびスラグ側(初期P₂O₅濃度2%)の両方からりんを平衡に到達させた。用いた試薬は前報⁶⁾と同じであるがふつ化物はNaF(99.0%), CaF₂, BaF₂(Merck Suprapur), MgF₂(99.9%)を用いた。

スラグ、メタル組成の分析方法はJIS法に準じた。ただし、スラグ中のFは試料をSiO₂とともにアルカリ融解^{9,10)}後、イオン電極法またはランタン-アリザリンコンプレキソン吸光光度法(JIS K 0101)により分析を行つた。またスラグ中のBaは硫酸バリウム重量法^{10,11)}により定量した。特にスラグ中のりん、全鉄の分析については磁選後のスラグ中にわずかに残留している金属鉄の影響が無視できないので以下の方法を用いた。ソーダ系およびNaF系スラグは温浸後ろ過し、残渣中の金属鉄を臭素メタノールで溶解除去後、りんをモリブデン青吸光光度法(JIS M 8216)、全鉄を1,10-フェナントロリン吸光光度法(JIS K 1200)により定量した。CaF₂, BaF₂, MgF₂系スラグは金属鉄を臭素メタノールで溶解除去後、SiO₂とともにアルカリ融解し、全鉄を1,10-フェナントロリン吸光光度法(JIS M 8850, R-2522, R-3101)または2,2'-ジピリジル吸光光度法

(JIS K 1417)により定量した。りんは同様にアルカリ融解後、塩化第二鉄溶液を加えpH調節して共沈分離¹²⁾し、モリブデン青吸光光度法により定量した。

3. 実験結果

本研究で用いたソーダ系フラックスはNa₂O-SiO₂-P₂O₅(≤19%)系、Na₂O-SiO₂-MO(M=Ca, Ba, Mg)-P₂O₅(≤4%)系およびNa₂O-SiO₂-CaF₂(≤19%)-P₂O₅(<2%)系である。一方、ふつ化物を含むフラックスはCaF₂-CaO-P₂O₅(<70 ppm)系、BaF₂-BaO-P₂O₅(≤2%)系、MgF₂-MgO-P₂O₅(<5 ppm)系、CaF₂-BaO-P₂O₅(<20 ppm)系、BaF₂-CaO-P₂O₅(<0.02%)系、CaF₂-MgO-P₂O₅(<20 ppm)系およびCaF₂-CaO-Al₂O₃-P₂O₅(<20 ppm)系である。

ソーダ系フラックスの実験前後のスラグ組成およびメタル中のりん、シリコン濃度をTable 1~3に示す。ふつ化物系フラックスの実験前後の各濃度をTable 4~5に示す。

Fig. 1に1250°C, 1350°CにおけるNa₂O-SiO₂系スラグ-炭素飽和溶鉄間のりん分配比L_P(=(%P)/[%P])の値を図示する。3Na₂O·2SiO₂-CaO(CaF₂), 3Na₂O·2SiO₂-3MO·2SiO₂およびNa₂O·SiO₂-MO·SiO₂(M=Ca, Ba, Mg)擬2成分系スラグ-炭素飽和溶鉄間の1250°CのL_Pの値をFig. 2に与える。Fig. 3にNaF-Na₂O(1350°C), CaF₂-CaO(1500°C), BaF₂-BaO(1350°C), およびMgF₂-MgO(1350°C,

Table 1. Experimental data for soda-based flux.

No.	Initial				Final						time (min)	(wt%)
	P (P ₂ O ₅)	(Na ₂ O)	(SiO ₂)		P	Si	(P ₂ O ₅)	(Na ₂ O)	(SiO ₂)	(Fe ₂ O)	(Al ₂ O ₃)	
1250°C												
91	1.10	—	26.1	73.89	1.04	0.086	0.0100	25.2	73.64	0.843	0.3	122
92	1.10	—	41.2	58.79	0.964	0.022	0.0113	36.1	62.34	0.462	1.1	119
93	1.10	—	50.8	49.23	0.916	0.005	0.435	47.9	50.51	0.410	0.7	38
94	1.10	—	60.5	39.53	0.635	0.004	3.11	55.4	40.51	0.133	0.8	14
95	0.005	1.90	27.4	70.66	0.189	0.071	0.111	27.6	70.86	0.895	0.5	117
96	0.005	1.90	51.0	47.07	0.110	tr.	0.857	47.0	50.55	0.580	1.0	46
97	0.005	1.79	60.5	37.74	0.0070	0.004	1.92	56.3	39.98	0.409	1.3	17
130	1.10	—	24.2	75.78	1.01	0.175	0.0086	24.0	74.77	0.765	0.4	232
131	1.10	—	41.2	58.79	0.958	0.040	0.0079	36.2	61.73	0.437	1.6	131
132	0.552	0.48	50.3	49.24	0.467	tr.	0.559	48.2	50.01	0.418	0.8	28
133	0.054	1.45	59.7	38.84	0.0084	tr.	1.96	55.3	40.76	0.447	1.6	24
140	0.005	10.3	52.1	37.52	0.121	0.002	9.47	51.5	37.70	0.452	0.9	15
141	0.005	19.2	53.6	27.28	0.115	tr.	18.1	53.1	27.56	0.276	0.9	10
142	0.005	12.3	58.9	28.81	0.0242	tr.	12.2	55.9	30.44	0.301	1.2	13
143	0.005	19.9	57.8	22.34	0.0363	tr.	19.3	56.1	23.32	0.241	1.1	11
1350°C												
147	1.10	—	24.2	75.78	0.989	0.373	0.0138	25.4	73.21	0.662	0.7	119
148	1.10	—	41.2	58.79	0.957	0.065	0.0143	37.5	61.00	0.458	1.0	58
149	0.552	—	50.2	49.79	0.458	0.005	0.162	48.1	50.55	0.427	0.8	15
150	0.552	—	59.8	40.18	0.211	0.003	2.56	55.4	41.10	0.220	0.7	6
1250°C												
83	0.098	1.90	27.4	70.66	0.171	—	1.00	27.6	70.17	0.495	0.7	60
84	0.098	1.79	41.5	56.68	0.168	—	1.09	39.9	57.97	0.169	0.9	61
85	0.098	1.91	51.2	46.84	0.0585	—	2.25	48.6	47.81	0.098	1.2	30
86	0.098	1.91	46.2	51.88	0.123	—	1.65	44.4	52.45	0.138	1.4	60
87	0.098	1.91	46.2	51.88	0.104	—	1.79	45.4	51.90	0.146	0.8	25
88	0.098	2.08	60.3	37.63	0.00142	—	2.96	56.3	39.08	0.073	1.6	20

Table 2. Experimental data for soda-based flux at 1250°C.

(wt%)

No.	Initial				Final							
	P	(Na ₂ O)	(SiO ₂)	(CaO)	P	Si	(P ₂ O ₅)	(Na ₂ O)	(SiO ₂)	(Fe ₂ O)	(CaO)	(Al ₂ O ₃)
134	0.552	25.5	50.43	24.1	0.464	0.012	0.022	25.4	50.66	0.219	21.3	2.4
135	0.552	33.4	50.39	16.2	0.463	0.006	0.0477	33.8	50.85	0.309	14.0	1.0
136	0.552	41.8	50.15	8.03	0.458	—	0.164	42.6	50.25	0.392	5.80	0.7
137	0.552	53.0	40.38	6.58	0.281	0.005	1.50	50.7	40.81	0.296	6.14	0.6
138	0.552	47.5	40.49	12.0	0.350	—	1.34	46.2	40.74	0.257	10.9	0.5
139	0.552	41.9	40.27	17.8	0.416	—	0.678	40.3	40.38	0.219	17.4	1.0
621	0.552	56.2	37.77	6.0	0.128	—	4.30	51.6	37.47	0.168	6.46	—
622	0.552	52.8	35.36	12.0	0.103	—	4.39	47.7	34.93	0.135	12.81	—
				(CaF ₂)								
623	0.552	53.8	36.16	10.0	0.341	—	1.86	50.9	35.89	0.144	0.19	10.8
624	0.552	47.8	32.14	20.0	0.463	—	0.932	45.9	33.52	0.114	0.33	19.2

Table 3. Experimental data for soda-based flux at 1250°C.

(wt%)

No.	Initial				Final									
	P	S	(Na ₂ O)	(SiO ₂)	P	S	(P ₂ O ₅)	(S)	(Na ₂ O)	(SiO ₂)	(Fe ₂ O)	(Al ₂ O ₃)		
321	0.552	0.499	50.8	49.23	0.467	0.0097	0.491	1.76	47.4	48.40	1.27	0.7		
322	0.545	0.985	60.5	39.53	0.270	0.0031	2.26	3.29	54.7	38.18	0.872	0.7		
				(BaO)										
301	0.552	0.499	42.7	46.58	10.8	0.486	0.0138	0.315	1.75	41.6	44.90	1.30	0.8	9.38
302	0.552	0.499	35.1	43.36	21.5	0.497	0.0179	0.191	1.76	34.2	42.51	1.19	0.7	19.41
303	0.552	0.499	27.6	40.14	32.3	0.538	0.0213	0.105	1.77	27.8	39.17	0.953	0.9	29.35
306	0.545	0.985	54.5	37.59	7.9	0.383	0.0040	1.93	4.53	47.2	35.08	1.24	0.6	9.43
307	0.545	0.985	48.5	35.65	15.9	0.403	0.0049	1.44	3.94	42.6	34.70	1.03	0.5	15.84
308	0.545	0.985	42.4	33.83	23.8	0.414	0.0056	1.39	3.41	39.5	33.29	0.822	0.6	21.00
				(MgO)										
311	0.552	0.499	42.7	51.33	6.0	0.510	0.0166	0.110	1.69	42.1	48.93	0.818	0.4	5.93
312	0.552	0.499	35.1	52.86	12.0	0.569	0.0290	0.0435	1.62	34.9	50.70	0.546	0.6	11.62
313	0.552	0.499	27.6	54.27	18.0	0.572	0.0647	0.0321	1.40	28.8	51.75	0.466	0.3	17.25
316	0.545	0.985	54.5	40.46	5.0	0.365	0.0047	1.38	3.22	49.5	39.09	0.896	0.4	5.54
317	0.545	0.985	48.5	41.52	10.0	0.426	0.0078	0.748	3.49	46.0	40.34	1.10	0.6	7.71
318	0.545	0.985	42.4	42.58	15.0	0.480	0.0164	0.329	3.66	42.3	44.26	2.14	0.6	6.68

Table 4. Experimental data for lime-based flux.

No.	P%	S ppm	(P ₂ O ₅) ppm	(S)%	(CaF ₂)%	(CaO)%	(Al ₂ O ₃)%	(Fe ₂ O) ppm
1430°C								
706	0.547	—	8.9	—	99.3	0.66	—	41
707	0.556	—	24.4	—	90.1	9.86	—	47
708	0.578	—	68.3	—	82.2	17.8	—	82
721	0.594	—	9.2	—	80.6	9.50	9.87	63
722	0.544	—	11.4	—	71.2	17.5	11.2	89
723	0.573	—	63.1	—	59.3	29.6	11.1	97
724	0.590	—	9.7	—	59.0	18.5	22.5	97
725	0.547	—	11.1	—	50.8	27.4	21.8	107
1500°C								
332	0.554	—	12.4	—	90.1	9.92	—	48
333	0.533	—	44.8	—	79.7	20.3	—	126
334	0.534	—	40.8	—	72.8	27.2	—	164
401	0.529	20	16.9	1.78	—	44.0	54.1	1770
403	0.517	20	9.7	2.00	10.2	41.8	46.0	614
404	0.505	12	6.2	1.78	19.8	37.5	40.9	280
405	0.520	11	5.9	1.72	38.4	28.5	31.4	159
651	0.548	—	5.9	—	98.9	1.09	—	37
652	0.551	—	4.4	—	99.4	0.62	—	31
653	0.562	—	15.0	—	90.5	9.50	—	48
654	0.581	—	53.5	—	80.9	19.0	—	132
655	0.573	—	43.7	—	72.9	27.1	—	118
681	0.545	—	11.3	—	45.2	32.4	22.4	123
682	0.566	—	7.8	—	57.6	19.4	23.0	104
683	0.592	—	6.6	—	63.6	14.9	21.5	97
684	0.572	—	3.0	—	70.2	9.74	20.1	70
686	0.584	—	6.6	—	79.1	10.5	10.4	61
687	0.568	—	9.0	—	70.9	18.5	10.6	75
1550°C								
701	0.547	—	2.2	—	97.8	2.16	—	39
702	0.554	—	7.7	—	89.6	10.4	—	48
703	0.537	—	29.2	—	70.9	29.1	—	167
711	0.555	—	4.8	—	80.3	9.35	10.3	70
712	0.582	—	6.6	—	71.2	17.8	11.0	82
713	0.553	—	20.0	—	61.4	27.9	10.6	92
714	0.560	—	4.8	—	59.8	18.3	21.8	116
715	0.570	—	7.1	—	51.0	26.2	22.8	149

Table 5. Experimental data for fluoride-based flux.

No.	Temp. (°C)	P%	(P ₂ O ₅) ppm	(BaF ₂)%	(BaO)%	(Fe ₂ O) ppm	
386	1350	0.519	62.8	94.9	5.1	78	
387	1350	0.468	2.01 × 10 ³	86.8	13.0	118	
388	1350	0.295	1.96 × 10 ⁴	72.9	25.0	187	
389	1350	0.251	1.52 × 10 ⁴	76.2	22.3	153	
660	1350	0.503	8.2	100.0	tr.	58	
661	1350	0.548	8.8	99.5	0.5	65	
662	1350	0.538	7.2	100.0	tr.	60	
663	1350	0.709	500	90.9	9.0	90	
664	1350	0.368	1.98 × 10 ³	82.3	17.5	135	
			(MgF ₂) (MgO)				
372	1500	0.527	2.3	92.9	7.1	74	
666	1350	0.617	1.5	98.6	1.4	61	
667	1350	0.523	1.2	99.3	0.68	56	
668	1350	0.531	4.5	93.8	6.2	85	
			(NaF) (Na ₂ O)				
671	1350	0.547	112	98.0	2.0	568	
672	1350	0.535	22.4	99.4	0.6	430	
			(CaF ₂) (BaO)				
351	1500	0.494	8.2	89.8	9.9	32	0.3
352	1500	0.565	13.3	79.8	19.6	37	0.7
353	1500	0.541	14.7	71.6	28.4	41	tr.
			(CaF ₂) (MgO)				
361	1500	0.533	8.2	89.3	10.5	56	0.2
362	1500	0.550	12.9	78.6	21.0	170	0.4
363	1500	0.545	15.3	69.2	30.5	273	0.3
			(BaF ₂) (CaO)				
396	1350	0.512	73.6	92.0	8.0	140	tr.
397	1350	0.493	159	83.4	16.6	166	tr.

1500°C) 2成分系スラグ-炭素飽和溶鉄間の L_P の値を示す。CaF₂-BaO(1500°C), BaF₂-CaO(1350°C), CaF₂-MgO(1500°C) 2成分系スラグの結果を Fig. 4

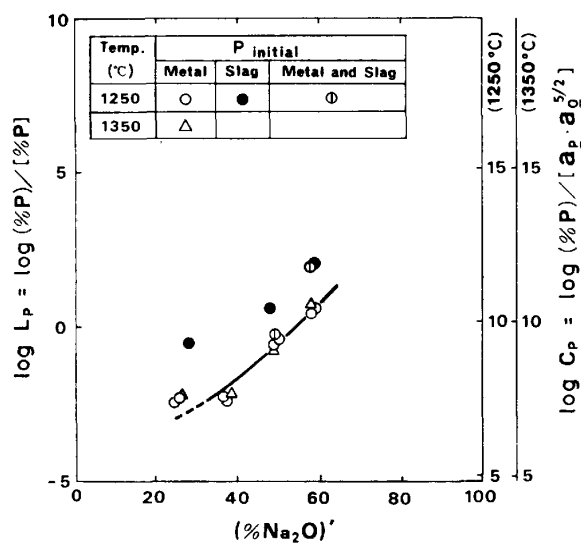


Fig. 1. Logarithms of $L_P(C_P)$ in the $\text{Na}_2\text{O}-\text{SiO}_2$ system at 1250°C and 1350°C .

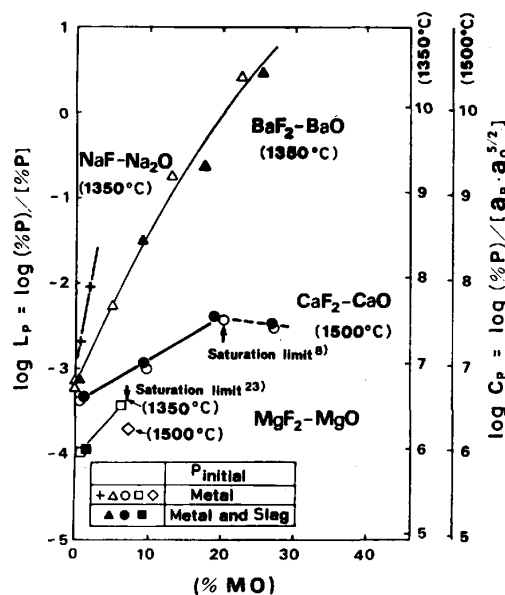


Fig. 3. Logarithms of $L_P(C_P)$ in the MF_2-MO ($\text{M}=\text{Na}, \text{Ba}, \text{Ca}, \text{Mg}$) system.

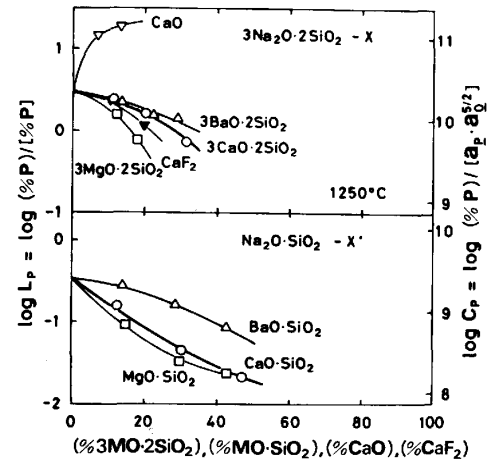


Fig. 2. Logarithms of $L_P(C_P)$ in the $3\text{Na}_2\text{O}-2\text{SiO}_2-3\text{MO}-2\text{SiO}_2$ and $\text{Na}_2\text{O}-\text{SiO}_2-\text{MO}-\text{SiO}_2$ ($\text{M}=\text{Ca}, \text{Ba}, \text{Mg}$) pseudo-binary systems at 1250°C .

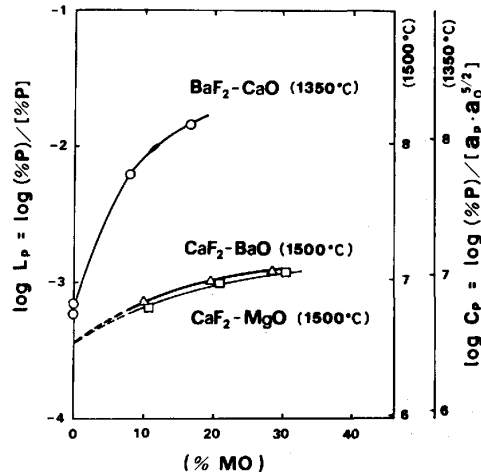


Fig. 4. Logarithms of $L_P(C_P)$ in the BaF_2-CaO , CaF_2-BaO and CaF_2-MgO systems.

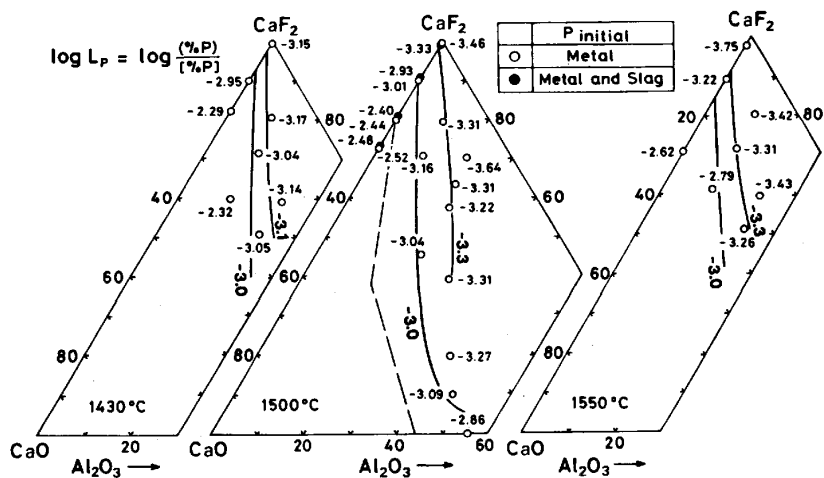


Fig. 5. Logarithms of L_P in the $\text{CaF}_2-\text{CaO}-\text{Al}_2\text{O}_3$ system at 1430°C , 1500°C and 1550°C .

に与える。1430°～1550°Cにおける $\text{CaF}_2\text{-CaO-Al}_2\text{O}_3$ 系スラグ-炭素飽和溶鉄間の L_P の値をFig. 5に示す。

4. 考察

4.1 スラグ-メタル間の脱りん平衡

スラグ-メタル間の脱りん平衡は次の分子式、イオン式で表される。



(1)(2)式の平衡定数をそれぞれ K_P , K_{ion} とすると,

$$K_P = N_{PO_{2.5}} \cdot \gamma_{PO_{2.5}} / [a_{P^-} \cdot a_O^{5/2}] \dots \dots \dots \quad (3)$$

$$K_{ion} = N_{PO_4^{3-}} \cdot \gamma_{PO_4^{3-}} / [a_{\underline{P}} \cdot a_{O}^{5/2} \cdot a_{O^{2-}}^{3/2}] \quad \dots \dots \quad (4)$$

(3), (4)式より

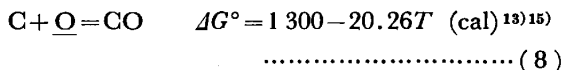
$$(\%P)/[a_{\underline{P}} \cdot a_0^{5/2}] = K_P / \gamma_{PO_{2.5}} \times (\%P) / N_{PO_{2.5}} \dots\dots (5)$$

$$(\%P)/[a_{\underline{P}} \cdot a_0^{5/2}] = K_{ion}/\gamma_{PO_4^{3-}} \times (\%P)/N_{PO_4^{3-}} \dots (6)$$

ここで $N_{\text{PO}_{2.5}}$, $N_{\text{PO}_4^{3-}}$ はそれぞれ $\text{PO}_{2.5}$ のモル分率および PO_4^{3-} イオンの陰イオン分率を表す.

イオンの平衡定数 (K_{ion})、イオン種 i の活量 (a_i) および活量係数 (γ_i) は、実験的に求めることはできないが、(6)式の左辺は実験から求めることができる量である。 (5)式または(6)式の左辺を C_p (phosphate capacity) と定義する。 (5), (6)式において、一定温度下で $(\%P)/N_{PO_{2.5}}$ または $(\%P)/N_{PO_4^{3-}}$ がスラグ組成によつてほとんど変化しないならば、phosphate capacity は $PO_{2.5}$ または PO_4^{3-} イオンの活量係数の逆数に比例することがわかる。 phosphate capacity とりん分配比 L_p の関係は(7)式で与えられる。

ここで f_{P} はメタル相中のりんの活量係数であり、 $e_{\text{P}}^{(\text{P})} = 0.062$ 、 $e_{\text{P}}^{(\text{C})} = 0.13$ 、 $e_{\text{P}}^{(\text{S})} = 0.028$ 、 $e_{\text{P}}^{(\text{Si})} = 0.12$ の各相互作用助係数の値¹³⁾ および $[\text{C}]_{\text{sat.}} = 1.30 + 2.57 \times 10^{-3} T$ ($^{\circ}\text{C}$) $-0.33[\% \text{P}]-0.36[\% \text{S}]-0.317[\% \text{Si}]$ ¹⁴⁾ から求めることができる。本実験条件下 ($a_{\text{C}} = 1$ 、 $P_{\text{CO}} = 1 \text{ atm}$) での a_{O} の値は(8)式の反応の標準生成自由エネルギー変化 ΔG° から求めることができる。



各温度での a_{O_2} の値および L_P , f_P の値を(7)式に代入して求めた C_P の値を Fig. 1~4 に示す。一方、WAGNER¹⁶⁾は $C_{\text{PO}_4^{3-}} \equiv (\% \text{PO}_4^{3-}) / [\text{P}_{\text{P}_2}^{1/2} \cdot \text{P}_{\text{O}_2}^{5/4}]$ を phosphate capacity と定義している。 $C_{\text{PO}_4^{3-}}$ と C_P との間には(9), (10)式の ΔG° の各値¹³⁾を用いることにより(11)式で示される関係が成立する。

$$1/2P_2 = P_{\text{in}Fe} \quad \Delta G^\circ = -29200 - 4.6T \text{ (cal)} \dots\dots (9)$$

$$\frac{1}{2}\text{O}_2 = \text{O}_{\text{in Fe}} \quad \Delta G^\circ = -28\,000 - 0.69T \text{ (cal)} \dots\dots (10)$$

$$\log C_P = \log C_{PO_4^{3-}} - 21680/T - 1.87 \quad \dots \dots \quad (11)$$

4.2 ソーダ系、石灰系フラックスの phosphate capacity

4.2.1 ソーダ系フラックス

Fig. 1 に示すとおり、 $\text{Na}_2\text{O}-\text{SiO}_2$ 系スラグと炭素飽和溶鉄間のりん分配比の値はスラグ側からりんを平衡に近づけた場合の方がメタル側からのそれよりも大きな値を示している。この傾向は $\text{Na}_2\text{O}-\text{SiO}_2$ 系についてのみ認められており、Fig. 3 に与えた、メタル側およびスラグ側の両方からりんを平衡に近づけた CaF_2-CaO 系スラグでは見られなかつた。さらに、 $\text{Na}_2\text{O}-\text{SiO}_2$ 系スラグ-炭素飽和溶鉄間の硫黄⁶⁾、マンガン¹⁷⁾の分配比を求めた実験においても認められなかつた。 $\text{CaF}_2-\text{CaO}-\text{Al}_2\text{O}_3$ 系スラグ-炭素飽和溶鉄間の硫黄の分配比を 1500°C で求めた実験⁷⁾における sulfide capacity の各値はガス-スラグ間平衡から求められている値⁸⁾と良く一致していた。SMITH と DAVIES¹⁸⁾は CaF_2-CaO 系スラグ-白金間のマンガンの分配平衡実験から MnO の活量係数を報告している。この値から算出した manganese capacity, $C_{\text{Mn}} = (\% \text{Mn}) / [\alpha_{\text{Mn}} \cdot a_{\text{O}}]$ の値は、著者が CaF_2-CaO 系スラグ-炭素飽和溶鉄間のマンガン平衡から求めた値とほぼ一致した¹⁷⁾。これらのことから $\text{C} (a_{\text{C}}=1) - \text{CO} (P_{\text{CO}}=1 \text{ atm})$ 平衡の低い酸素ポテンシャルが保たれていることが確かめられた。すなわち、スラグ-メタル界面の酸素ポテンシャルが一定に保たれていないことが不一致の理由とは考えられず、その原因については本研究からは明らかでない。また Fig. 1 から明らかなとおり、 1250°C , 1350°C の L_p の値には違いが認められなかつた。

Table 1 に示した $\text{Na}_2\text{O}-\text{SiO}_2$ 系スラグ-炭素飽和溶銅間のりん分配比を求めた実験結果において、銅中のりん濃度は 0.2 wt% 未満であり炭素濃度も極めて低い(10 ppm 未満)ので、銅中のりんの Henry 基準の活量 $a_{\text{PInCu}} = [\% \text{P}]$ とみなすことができる。Cu-P 二元系状態図から KRAMSS¹⁹⁾ は正則溶体近似を用いて、1200°C の銅活量を求め、GIBBS-DUHEM の式から RAOUULT 基準のりんの活量係数 $\gamma_{\text{P}}^{\circ} = 0.025$ を導出している。この値を正則溶体近似し、重量パーセント表示の Henry 基準に変換することにより、(12)式の ΔG° を得た。

(9), (12)式の ΔG° の値より 1250°C において $a_{\text{P in Fe}} = 91 \cdot a_{\text{P in Cu}}$ が算出される。溶銅についてのデータを炭素飽和溶鉄の場合に換算して求めた C_P の値を Fig. 1

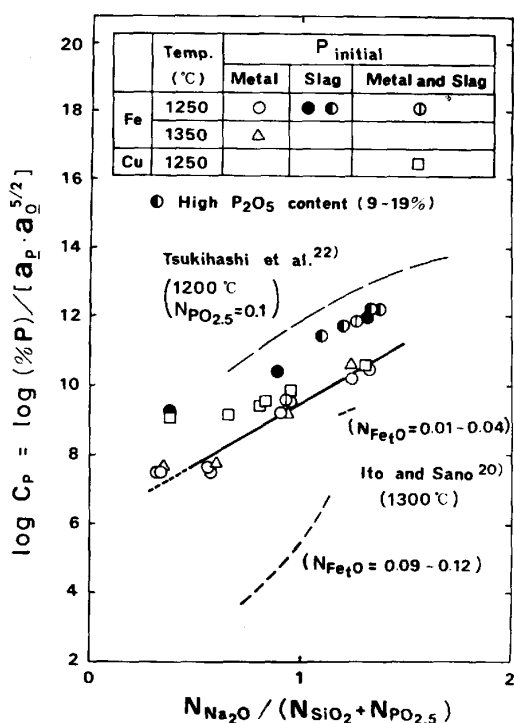


Fig. 6. Comparison of the present value for $\log C_P$ with the previous results²⁰⁾²²⁾.

に示した $\text{Na}_2\text{O}-\text{SiO}_2$ 系スラグ-炭素飽和溶鉄間のりん分配比の値から求めた C_P の値とともに Fig. 6 に示す。換算して求めた値は炭素飽和溶鉄についての結果と良く一致している。伊藤ら²⁰⁾は 1300°C において純鉄るつば中で $\text{Na}_2\text{O}-\text{SiO}_2-\text{PO}_{2.5}-\text{Fe}_t\text{O}$ 系スラグと固体純鉄薄板とを平衡させ、計算によつて炭素飽和溶鉄との平衡りん分配比を求めている。さらに $\text{Na}_2\text{O}-\text{SiO}_2-\text{FeO}-\text{FeO}_{1.5}-\text{Na}_2\text{CO}_3$ 系スラグの FeO の活量データ²¹⁾を用いて $C_{\text{PO}_4^{3-}}$ の値のスラグ組成依存性を示している。彼らの用いたスラグ中の $\text{PO}_{2.5}$ 濃度は 3~44 wt% であり、 Fe_tO 濃度も 2~33 wt% に達しているため、本実験結果 (% $\text{Fe}_t\text{O} \leq 1.3$) と直接比較することは困難であるが、% $\text{Fe}_t\text{O} = 2 \sim 6$ ($N_{\text{Fe}_t\text{O}} = 0.01 \sim 0.04$) および % $\text{Fe}_t\text{O} = 10 \sim 14$ ($N_{\text{Fe}_t\text{O}} = 0.09 \sim 0.12$) のデータについて(11)式を用いて C_P に換算した結果を Fig. 6 中に点線で示す。 Fe_tO 濃度が低くなるほど本研究結果に近い値となつてゐることがわかる。

SiO_2 濃度を一定にして Na_2O を CaO (BaO , MgO) で置き換えた場合、Fig. 2 から明らかなとおり、りん分配比は $\text{BaO} > \text{CaO} > \text{MgO}$ の順にゆるやかに減少している。 BaO で置き換えた場合のりん分配比の値が減少していることから、純粋な Na_2O のりん分配比は BaO のそれよりも大きいことがわかる。スラグ側からりんを平衡に到達させる実験により 9~19% P_2O_5 を含

む $\text{Na}_2\text{O}-\text{SiO}_2$ 系スラグ-炭素飽和溶鉄間のりん分配比を求めた。その結果を Table 1 (No. 140~143) に与える。分配比から求めた C_P の値を ●印で Fig. 6 に示す。この値はスラグ側からりんを平衡に到達させようとしているため、Fig. 1 の結果を考えれば真の平衡値よりも高い値を示しているものと思われる。

月橋ら²²⁾は Na_2O (40~65%) - SiO_2 - P_2O_5 (5~25%) 系スラグ-炭素飽和溶鉄間のりん分配比を 1200°C で求めている。彼らの $N_{\text{PO}_{2.5}} = 0.1$ の結果から(7), (8)式によつて求めた C_P の値を Fig. 6 に示す。彼らの結果から求めた C_P の値と本研究の $\text{Na}_2\text{O}-\text{SiO}_2-\text{P}_2\text{O}_5$ (9~19%) 系スラグについての値とはほぼ一致しているとみなすことができる。

4.2.2 石灰系フラックス

Fig. 3 に示した陽イオン共通の CaF_2 - CaO , BaF_2 - BaO , MgF_2 - MgO および $\text{NaF}-\text{Na}_2\text{O}$ 系スラグのりん分配比から明らかなるとおり、 $\text{Na} > \text{Ba} > \text{Ca} > \text{Mg}$ の順でりん分配比は小さくなっていることがわかる。純粋なふつ化物を用いて行つた実験では理由は明らかではないが、脱水した CO 霧囲気中で実験を行つたにもかかわらず酸化物がかなり含まれていた (NaF , BaF_2 , CaF_2 および MgF_2 中に最大でそれぞれ $N_{\text{Na}_2\text{O}} = 0.014$, $N_{\text{BaO}} = 0.006$, $N_{\text{CaO}} = 0.030$ および $N_{\text{MgO}} = 0.022$). CaF_2 - CaO 系の 1500°C の飽和限⁸⁾ ($N_{\text{CaO}} = 0.26$, % $\text{CaO} = 20.2$) および MgF_2 - MgO 系の 1350°C の飽和限²³⁾ ($N_{\text{MgO}} = 0.10$, % $\text{MgO} = 7$) を Fig. 3 に矢印で示す。Fig. 1 と Fig. 3 の比較から、1500°C の液相領域における CaF_2 - CaO 系の C_P の最大値は、1250°C における $\text{Na}_2\text{O}/\text{SiO}_2 = 0.5$ (wt% 比) でのそれとほぼ等しいことがわかる。脱りんに関しては Fig. 5 に示した CaF_2 - CaO 系スラグの C_P の値の温度依存性を考えてても、本実験スラグ組成では $\text{Na}_2\text{O}-\text{SiO}_2$ 系 フラックスは、 CaF_2 - CaO 系 フラックスよりも効果が大きいことが明らかである。一方、硫黄の分配比および sulfide capacity に関しては、著者らの前報⁶⁾の結果から明らかなるとおり、1500°C の液相領域での CaF_2 - CaO 系の値は 1250°C の $\text{Na}_2\text{O}-\text{SiO}_2$ 系のそれと比べて著しく高い値を示している。脱硫については sulfide capacity の温度依存性が無視できるほど小さい¹⁷⁾ため、同一酸素ポテンシャル下で CaF_2 - CaO 系 フラックスが $\text{Na}_2\text{O}-\text{SiO}_2$ 系 フラックスよりも優れている。

$3\text{Na}_2\text{O} \cdot 2\text{SiO}_2$ 組成の フラックスに CaO または CaF_2 を添加した場合、Fig. 2 に与えたように、 L_P の値は、 CaO 添加では増加し、 CaF_2 添加では減少している。酸性スラグ領域では CaF_2 添加により $\text{Si-O-Si} + 2\text{F}^- \rightarrow$

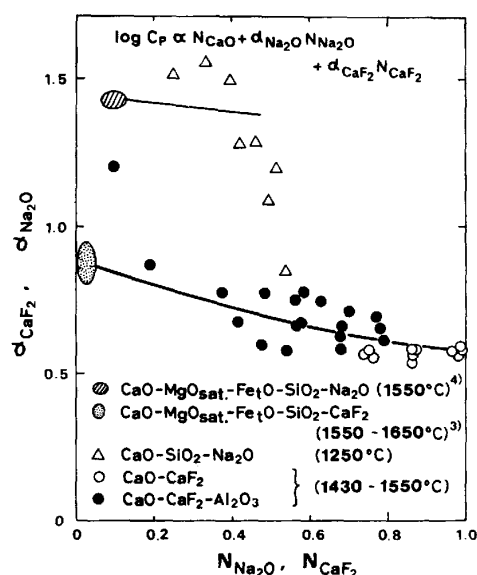
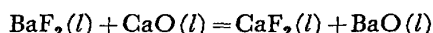


Fig. 7. Effect of Na_2O or CaF_2 on $\log C_P$ - CaO equivalencies of Na_2O or CaF_2 .

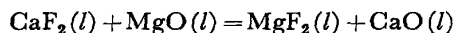
$2(\text{Si}-\text{F}) + \text{O}^{2-}$ の反応に伴つて O^{2-} イオン濃度が増加することによつて、りん分配比の増加が期待される。BRONSON と St. PIERRE²⁴⁾は、 $\text{CaO}-\text{SiO}_2$ 系スラグ ($\% \text{CaO}/\% \text{SiO}_2 = 1 \sim 1.28$) で CaF_2 を 10 wt% 添加した場合、sulfide capacity が増加することを見出している。しかし、本研究ではスラグ組成が $3\text{Na}_2\text{O} \cdot 2\text{SiO}_2$ と塩基性であるため、 CaF_2 の添加によるりん分配比、すなわち同一酸素ポテンシャル下での C_P の増加は認められなかつた。

C_P におよぼす Na_2O または CaF_2 添加の影響が CaO と比べてモル分率基準でどの程度であるかを調べた結果を Fig. 7 に示す。 $\text{Na}_2\text{O}-\text{CaO}-\text{SiO}_2$ 系スラグ-炭素飽和溶鉄間の実験から求めた C_P の対数におよぼすモル分率基準の Na_2O の CaO 当量は 1.1~1.6 である。 MgO 飽和 $\text{CaO}-\text{SiO}_2-\text{Fe}_2\text{O}_3-\text{Na}_2\text{O}$ (7~13%) 系スラグ-溶鉄間のりん分配平衡実験⁴⁾ (1550°C) から求めた Na_2O の CaO 当量が 1.4 であつたことから、 Na_2O 濃度が増加しても CaO 当量はほぼ一定であるとみなすことができる。 CaF_2 濃度が 4 wt% 以下の MgO 飽和スラグ-溶鉄間のりん分配平衡実験³⁾ (1550~1650°C) から求めた CaF_2 のモル分率基準の CaO 当量は 0.9 であつた。本研究の CaF_2 濃度の高いスラグ-炭素飽和溶鉄間の実験から求めた CaF_2 の CaO 当量はばらつきがあるものの、 CaF_2 濃度の増加とともに減少しており、純粋な CaF_2 の時、 CaF_2 の CaO 当量は 0.6 となつてゐる。

陽イオンが異なるふつ化物と酸化物に関する交換反応は次式で表される。



$$\Delta G^\circ = 6140 + 1.95T \text{ (cal)}^{15,25)} \dots\dots\dots (13)$$



$$\Delta G^\circ = 21550 - 2.50T \text{ (cal)}^{25,26)} \dots\dots\dots (14)$$

Fig. 3 と Fig. 4 とを比較した場合、 BaF_2-CaO 系スラグの C_P が BaF_2-BaO 系スラグのそれより低く、 CaF_2-MgO 系の C_P が CaF_2-CaO 系のそれより低い理由は、(13)、(14)式の交換反応が起らうことおよび、純粋な酸化物の C_P が $\text{BaO} > \text{CaO} > \text{MgO}$ ⁴⁾ であることから説明される。一方、 CaF_2-BaO 系の C_P が CaF_2-CaO のそれより低いことは純粋な酸化物の C_P の差だけから説明できない。(13)式の交換反応により BaO 1 mol につき CaO が 1 mol (BaO 10 wt%) につき CaO が約 4 wt% 生成したと仮定して、 CaF_2-BaO 系の組成をこの比率で $\text{CaF}_2-\text{BaF}_2-\text{CaO}$ 系に換算した実験点は CaF_2-CaO 系と良く一致した。

田淵と佐野²⁷⁾は黒鉛るつぼ中で Ag-P 合金と CaF_2-CaO 系スラグ間のりん分配平衡を $P_{\text{CO}}=0.5 \text{ atm}$ ($P_{\text{O}_2}=4.56 \times 10^{-17} \text{ atm}$)、1500°C で求めている。その結果、 P^{5+} イオンの他に P^{3-} イオンの存在を確認し、 P^{3-} イオン濃度は P^{5+} イオン濃度の約 1/4 程度であることを報告している。彼らの P^{5+} イオン濃度のデータを用いて求めた C_P の値を Fig. 8 に示す。本研究で得られた 1500°C における CaF_2-CaO 系スラグの C_P の値を同図中に太い実線で与える。田淵らの C_P の値は本研究結果よりもわずかに高いがほぼ一致しているとみなせる。

4・3 りん分配比の温度依存性

りん分配比、 L_P が温度に大きく依存することはよく知られたことである。Fig. 9 に 1430°C~1550°C 間で測定した CaF_2-CaO 系および $\text{CaO}-\text{CaF}_2-21\%$

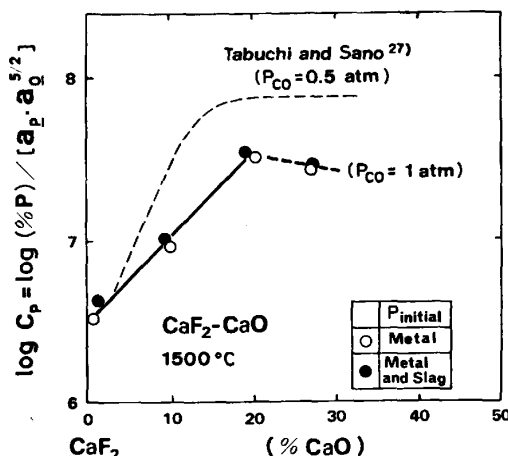


Fig. 8. Comparison with the previous results²⁷⁾ of the present value for $\log C_P$ in the CaF_2-CaO system.

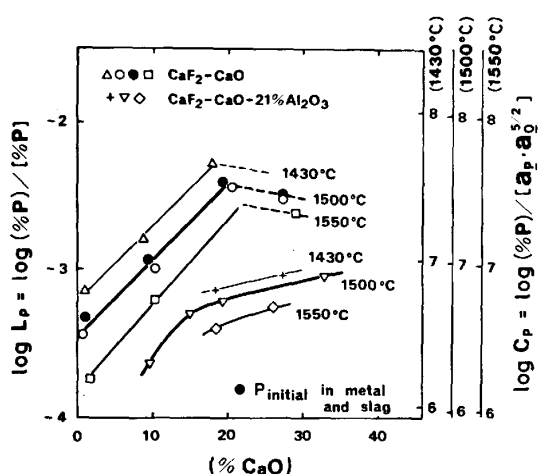


Fig. 9. Temperature dependence of $\log L_P$ in the $\text{CaF}_2\text{-CaO}$ and $\text{CaF}_2\text{-CaO-Al}_2\text{O}_3$ systems.

Al_2O_3 系スラグの L_P および C_P の値を示す。 $\text{CaF}_2\text{-CaO}$ 系スラグの L_P の温度依存性は $\text{CaF}_2\text{-CaO-Al}_2\text{O}_3$ 系スラグよりも大きいことがわかる。

ソーダ系スラグについて月橋ら²²⁾は $57\% \text{Na}_2\text{O}-24\% \text{SiO}_2-18\% \text{PO}_{2.5}-1\% \text{Fe}_2\text{O}$ 系スラグ-炭素飽和溶鉄間のりん分配平衡実験を $1200^\circ\text{C} \sim 1300^\circ\text{C}$ で行い、 $\log (\% \text{P}) / [\% \text{P}] = 21500/T - 11.73$ を得ている。しかし、Fig. 1 に与えた $\text{Na}_2\text{O}-\text{SiO}_2$ 系スラグの L_P の値からは 1250°C と 1350°C とで温度依存性は認められなかつた。

5. ま と め

ソーダ系、石灰系フラックス-炭素飽和溶鉄間のりん分配比を求める実験を行い、以下の結果を得た。

1) $\text{Na}_2\text{O}-\text{SiO}_2$ 系スラグにおいて、 SiO_2 濃度一定で Na_2O を CaO 、 BaO 、 MgO で置き換えると、りんの分配比はいずれの場合も低下した。その低下の程度は $\text{BaO} < \text{CaO} < \text{MgO}$ の順に大きくなつた。 $3\text{Na}_2\text{O}\cdot2\text{SiO}_2$ 組成のスラグに CaO を添加するよりん分配比は上昇し、 CaF_2 の添加によつて低下した。

2) $\text{MF}_2\text{-MO}$ ($\text{M}=\text{Na}, \text{Ba}, \text{Ca}, \text{Mg}$) 系スラグにおいて、そのりん分配比は $\text{Na} > \text{Ba} > \text{Ca} > \text{Mg}$ の順に小さくなつた。

3) $\text{Na}_2\text{O}-\text{SiO}_2$ 系スラグでは 1250°C と 1350°C でりん分配比はほぼ同じであつたが、 $\text{CaF}_2\text{-CaO}$ 系および $\text{CaF}_2\text{-CaO-Al}_2\text{O}_3$ 系スラグの場合、 $1430^\circ\text{C} \sim 1550^\circ\text{C}$ で温度上昇とともにりん分配比は低下した。この温度依存性は $\text{CaF}_2\text{-CaO-Al}_2\text{O}_3$ 系スラグよりも $\text{CaF}_2\text{-CaO}$ 系スラグの方が大きかつた。

文 献

- 1) 岩崎克博、佐野信雄、松下幸雄: 鉄と鋼, 67 (1981), p. 536
- 2) 水渡英昭、井上亮、高田稔: 鉄と鋼, 67 (1981), p. 2645
- 3) 水渡英昭、井上亮: 鉄と鋼, 68 (1982), p. 1541
- 4) 水渡英昭、井上亮: 鉄と鋼, 70 (1984), p. 366
- 5) H. SUITO and R. INOUE: The 2nd Japan-China Symposium on Science and Technology of Iron and Steel, Tokyo (1983) Nov., p. 249 [ISIJ]
- 6) R. INOUE and H. SUITO: Trans. ISIJ, 22 (1982), p. 514
- 7) 水渡英昭、井上亮: 未発表
- 8) G. J. W. KOR and F. D. RICHARDSON: Trans. Metall. Soc. AIME, 245 (1969), p. 319
- 9) 白石裕: 東北大学選鉱製錬研究所彙報, 31 (1975), p. 47
- 10) 中塙邦夫、吉野論吉編: 新実験化学講座, 9 (1976) [丸善]
- 11) 沢村宏: 鉄鋼化学分析全書, 9 (1963) [日刊工業新聞社]
- 12) 石橋雅義、田伏正之: 分析化学, 8 (1959), p. 588
- 13) G. K. SIGWORTH and J. F. ELLIOTT: Met. Sci., 8 (1974), p. 298
- 14) F. NEUMANN, H. SCHENCK and W. PATTERSON: Giesserei, 23 (1959), p. 1217
- 15) O. KUBASCHEWSKI, E. L. EVANS and C. B. ALCOCK: Metallurgical Thermochemistry, 4th ed. (1967) [Pergamon Press]
- 16) C. WAGNER: Metall. Trans., 6B (1975), p. 405
- 17) 井上亮、水渡英昭: 鉄と鋼, 70 (1984), p. 831
- 18) P. N. SMITH and M. W. DAVIES: Trans. IMM, 80 (1971), C87
- 19) J. KRAMSS: "Thermodynamische Untersuchungen im System Kupfer-Sauerstoff-Phosphor bei 1200°C ", Doctor Thesis (1971), Berlin Technical University
- 20) 伊藤公久、佐野信雄: 鉄と鋼, 69 (1983), p. 1838
- 21) 佐野信雄: 鉄と鋼, 69 (1983), p. 378
- 22) 月橋文孝、松本文明、佐野信雄: 鉄と鋼, 69 (1983), S 175
- 23) E. M. LEVIN, C. R. ROBBINS and H. F. MC-MURDIE: Phase Diagrams for Ceramists (1969) [American Ceramic Society]
- 24) A. BRONSON and G. R. St. PIERRE: Metall. Trans., 10B (1979), p. 375
- 25) E. T. TURKDOGAN: Physical Chemistry of High Temperature Technology (1980) [Academic Press]
- 26) I. BARIN and O. KNACKE: Thermochemical Properties of Inorganic Substances (1973) [Springer-Verlag]
- 27) 田淵敏、佐野信雄: 鉄と鋼, 69 (1983), S 280